

TECHNISCHE UNIVERSITÄT
DORTMUND

ANFÄNGERPRAKTIKUM PHYSIK
WINTERSEMESTER
13/14

V355
Relaxationsverhalten eines
RC-Kreises

16. Januar 2014

Johannes Schlüter
Joshua Luckey

johannes.schlueter@udo.edu
joshua.luckey@udo.edu

1 Einleitung

2 Theorie

3 Durchführung

4 Auswertung

Im Folgenden sind die während des Versuchs aufgenommenen Messwerte tabellarisch und durch Grafiken dargestellt. An entsprechender Stelle sind Anmerkungen und Erklärungen zu den Messwerten und den vollzogenen Rechnungen gegeben.

4.1 Messung der Zeitkonstante durch Entladung des Kondensators

Die in Tabelle 1 gelisteten Messwerte sind aus dem in Abbildung 1 dargestellten zeitlichen Verlauf der Kondensatorspannung $U_C(t)$ entnommen.

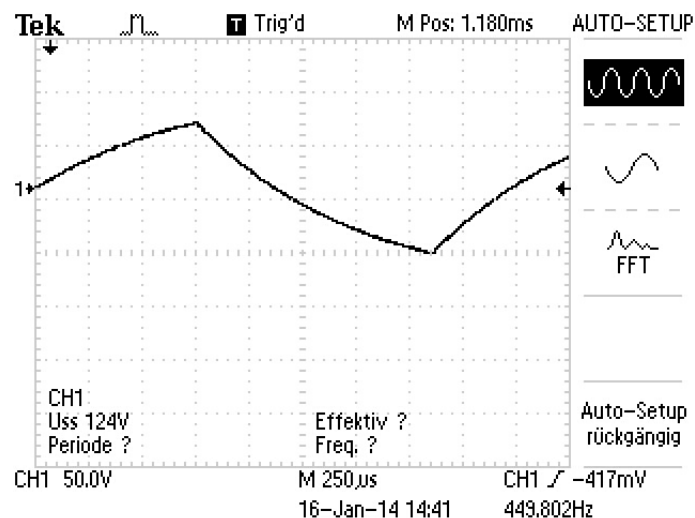


Abbildung 1: Zeitlicher Verlauf der Kondensatorspannung bei Entladung

Zeit t [ms]	Kondensatorspannung U_C [V]	Zeit t [ms]	Kondensatorspannung U_C [V]
0,0	121 ± 1	0,5	44 ± 1
0,1	102 ± 1	0,6	34 ± 1
0,2	84 ± 1	0,7	25 ± 1
0,3	68 ± 1	0,8	17 ± 1
0,4	56 ± 1		

Tabelle 1: Kondensatorspannung zur Zeit t nach Beginn der Entladung

Durch Regression der in Abbildung 2 halb-logarithmisch aufgetragenen Messwerte, unter Verwendung der Python Bibliothek *SciPy* [1], ergeben sich die Parameter a und b der angesetzten Regressionsfunktion

$$f(t) = at + b \quad (1)$$

zu

$$a = (-2127 \pm 84) \text{ s}^{-1} \quad (1a)$$

$$b = 125 \pm 3. \quad (1b)$$

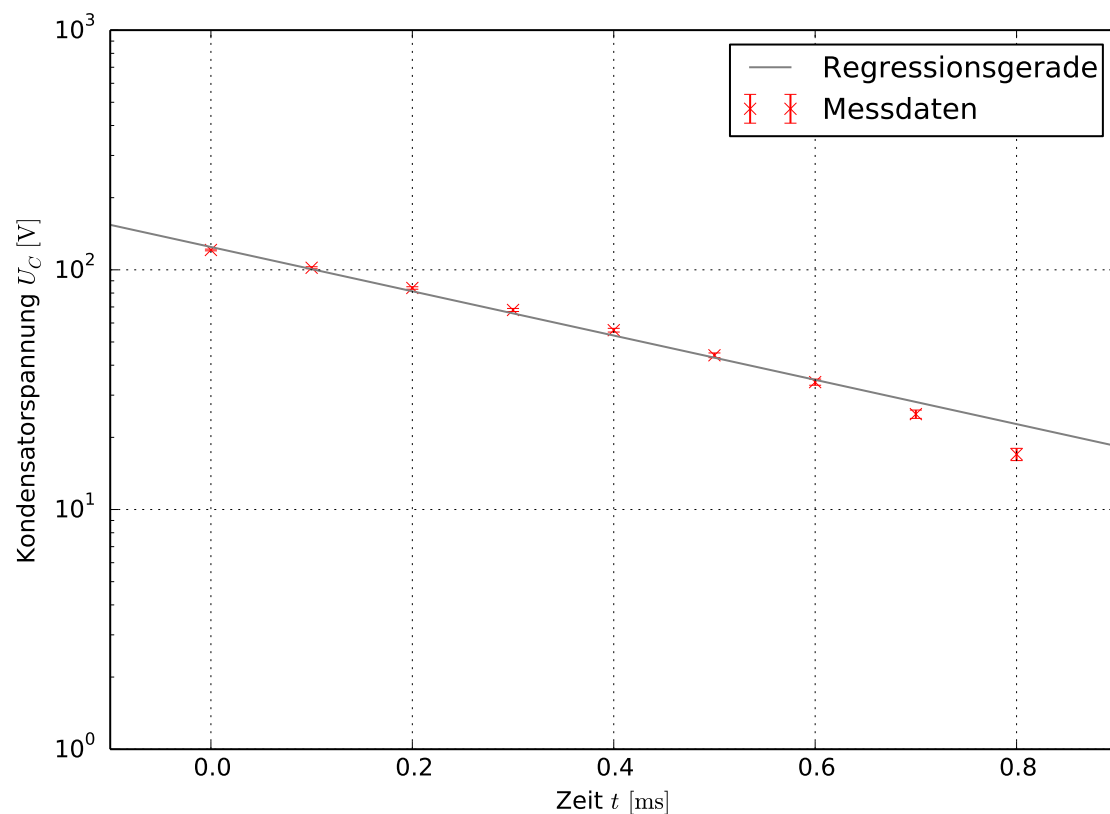


Abbildung 2: Messwerte des Entladungsvorgangs mit entsprechender Regressionsgeraden

Mit der theoretischen Form dieser Regressionsgeraden

$$\ln \left(\frac{U(t)}{U(0)} \right) = -\frac{t}{RC}, \quad (2)$$

die man durch logarithmieren von ??^① erhält lässt sich zeigen, dass die reziproke Steigung dieser Geraden der Zeitkonstante RC entspricht. Diese hat, mit der Steigung (1a) somit

^①Da $U = qE$ gilt sind zeitlicher Verlauf von Spannung und Ladung äquivalent

den Wert

$$RC = \frac{1}{a} = (4,7 \pm 0,2) \cdot 10^{-4} \text{ s} \quad (3)$$

4.2 Messung der Frequenzabhängigkeit der Kondensatorsspannungsamplitude

In Tabelle 2 sind die, in Abhängigkeit der Frequenz f_G der angelegten Sinusspannung gemessenen, Amplituden der Kondensatorspannung $A(f)$ und die mit $U_0 = 80 \text{ V}$ normierten Amplituden $\frac{A(f)}{U_0}$ eingetragen.

Frequenz $f \text{ [Hz]}$	Amplitude $A(f) \text{ [V]}$	normierte Amplitude $\frac{A(f)}{U_0}$
30	$75,2 \pm 0,1$	$0,940 \pm 0,001$
50	$75,0 \pm 0,1$	$0,938 \pm 0,001$
70	$74,4 \pm 0,1$	$0,930 \pm 0,001$
90	$71,2 \pm 0,1$	$0,890 \pm 0,001$
100	$70,0 \pm 0,1$	$0,875 \pm 0,001$
300	$44,0 \pm 0,1$	$0,550 \pm 0,001$
500	$30,0 \pm 0,1$	$0,375 \pm 0,001$
700	$22,0 \pm 0,1$	$0,275 \pm 0,001$
900	$17,4 \pm 0,1$	$0,217 \pm 0,001$
1000	$15,8 \pm 0,1$	$0,198 \pm 0,001$
3000	$5,6 \pm 0,1$	$0,070 \pm 0,001$
5000	$3,4 \pm 0,1$	$0,042 \pm 0,001$
7000	$2,6 \pm 0,1$	$0,033 \pm 0,001$
9000	$1,78 \pm 0,01$	$0,0222 \pm 0,0001$
10 000	$1,62 \pm 0,01$	$0,0203 \pm 0,0001$
30 000	$0,56 \pm 0,01$	$0,0070 \pm 0,0001$
50 000	$0,33 \pm 0,01$	$0,0041 \pm 0,0001$
70 000	$0,24 \pm 0,01$	$0,0030 \pm 0,0001$
100 000	$0,17 \pm 0,01$	$0,0021 \pm 0,0001$

Tabelle 2: Amplitude und normierte Amplitude der Kondensatorspannung in Abhängigkeit der Frequenz

In Abbildung 3 sind die normierten Amplituden gegen die Frequenzen halb-logarithmisch aufgetragen.

Durch Regression der Messwerte für die normierte Amplitude in Abbildung 3 mit eine Funktion der Form

$$A(f) = \frac{1}{\sqrt{1 + c^2(2\pi f)^2}}, \quad (4)$$

ergibt sich der Regressionsparameter zu

$$c = (8,1 \pm 0,2) \cdot 10^{-4} \text{ s} \quad (4a)$$

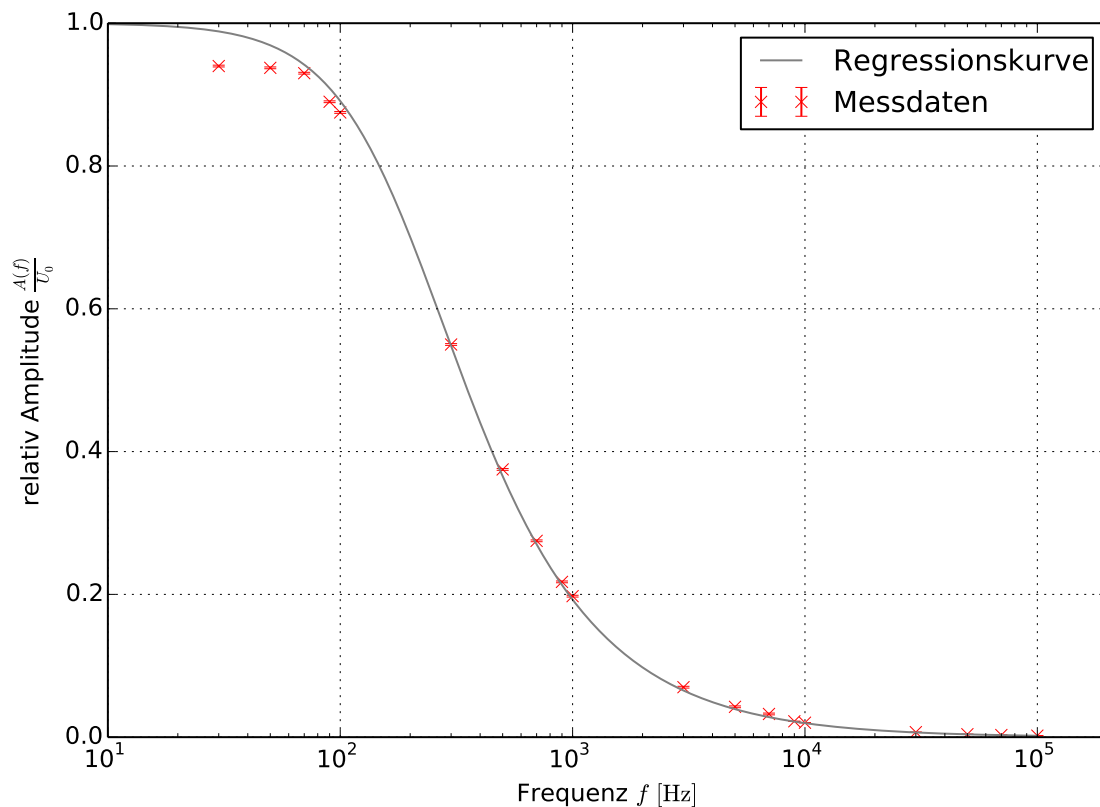


Abbildung 3: Normierte Amplituden in Abhängigkeit von der Frequenz mit entsprechender Regressionskurve

Der theoretische Verlauf der Amplitude in Abhängigkeit der Frequenz ?? zeigt, dass mit (4a) für die Zeitkonstante RC des RC-Gliedes

$$RC = c = (8,1 \pm 0,2) \cdot 10^{-4} \text{ s} \quad (5)$$

gilt.

4.3 Messung der Frequenzabhängigkeit der Phasendifferenz zwischen Generator- und Kondensatorspannung

Die in Abhängigkeit von der Frequenz aufgenommenen Messwerte für die Phasendifferenz zwischen Generator- und Kondensatorspannung $U_G(t)$ bzw. $U_C(t)$ sind in Tabelle 3 zu finden.

Die mit einer Funktion der Form

$$\varphi(f) = \arctan(d \cdot 2\pi f) \quad (6)$$

durchgeführte Regression der in Abbildung 4 dargestellten Messwerte liefert den Regres-

Frequenz f [Hz]	Phasendifferenz $\varphi(f)$ [°]	Frequenz f [Hz]	Phasendifferenz $\varphi(f)$ [°]
100	18,0	10 000	90,0
200	54,0	20 000	86,4
300	64,8	30 000	86,4
400	57,6	40 000	86,4
500	63,0	50 000	90,0
1000	81,0	100 000	90,0
2000	86,4	200 000	93,6
3000	86,4	300 000	97,2
4000	93,6	400 000	100,8
5000	90,0	500 000	90,0

Tabelle 3: Phasendifferenz der Kondensator- und Generatorspannung in Abhängigkeit der Frequenz

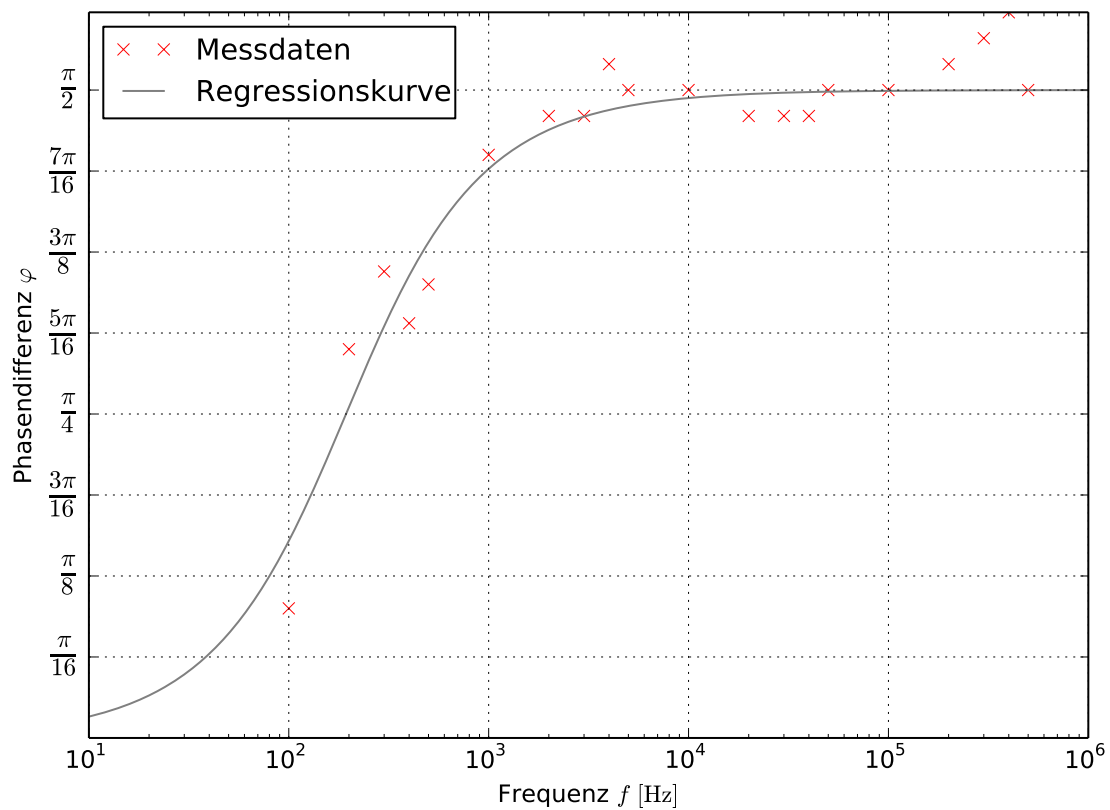


Abbildung 4: Phasendifferenz in Abhängigkeit der Frequenz mit entsprechender Regressionskurve

sionsparameter

$$d = (8,2 \pm 0,8) \cdot 10^{-4} \text{ s.} \quad (6a)$$

Aus diesem lässt sich wiederum, durch Vergleich mit dem theoretischen Verlauf der

Phasendifferenz ?? die Zeitkonstante RC des RC-Gliedes zu

$$RC = d = (8,2 \pm 0,8) \cdot 10^{-4} \text{ s.} \quad (7)$$

4.4 Darstellung der Kondensatorsspannungsamplitude in Abhängigkeit der Frequenz und der Phasendifferenz

Durch das Einsetzen der Gleichungen für die Frequenzabhängigkeit der Amplitude und Phasendifferenz ?? bzw. ?? in ?? ergibt sich der Zusammenhang zwischen normierter Amplitude und Phasendifferenz zu:

$$\begin{aligned} \frac{A(\omega)}{U_0} &= -\frac{\sin(\arctan(-\omega RC))}{\omega RC} \\ &= \frac{\sin(\arctan(\omega RC))}{\omega RC} \\ &= \frac{\omega RC}{\sqrt{1 + (\omega RC)^2} \omega RC} \\ &= \frac{1}{\sqrt{1 + (\omega RC)^2}} \\ &= \cos(\arctan(-\omega RC)) \\ \frac{A(\omega)}{U_0} &= \cos(\varphi(\omega)) \end{aligned} \quad (8)$$

Mit dieser Gleichung erhält man den in Abbildung 5 dargestellten Verlauf. Die ebenso eingezeichneten Messwerte sind Tabelle 2 und 3 entnommen.

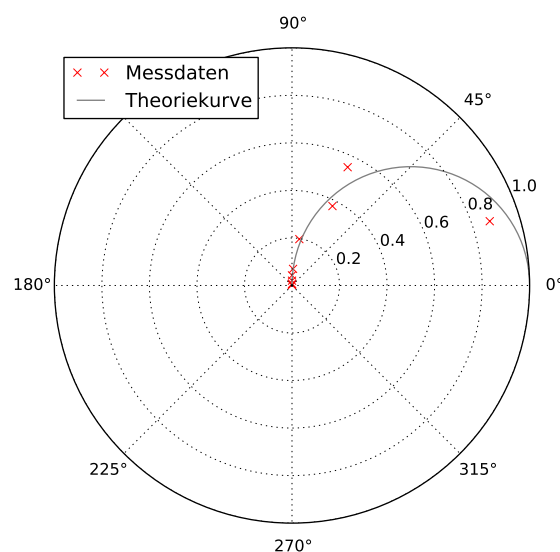


Abbildung 5: Verlauf der normierten Amplitude in Abhängigkeit von der Phasendifferenz

4.5 Das RC-Glied als Integrator

In den folgenden Abbildungen sind die aufgenommenen Spannungsverläufe der Sinus-, Dreieck- und Rechteckspannung und dem jeweiligen Spannungsverlauf U_C der Kondensatorspannung dargestellt.

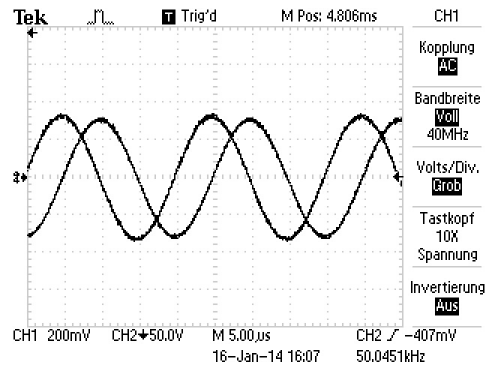


Abbildung 6: Integration des Sinusspannung

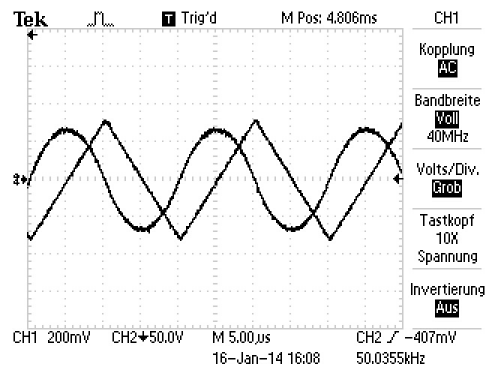


Abbildung 7: Integration des Dreieckspannung

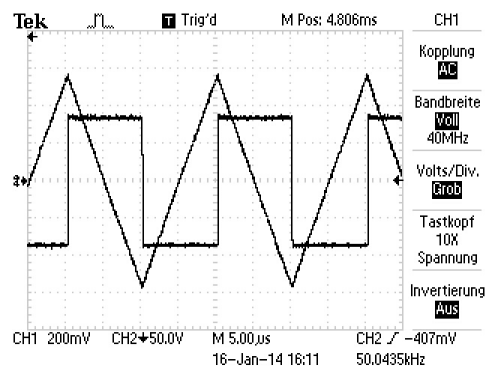


Abbildung 8: Integration der Rechteckspannung

4.6 Fehlerrechnung

5 Diskussion

Literatur

- [1] *SciPy*. URL: <http://docs.scipy.org/doc/> (besucht am 18.01.2014).